



MICROFICHE N°

04019

République Tunisienne

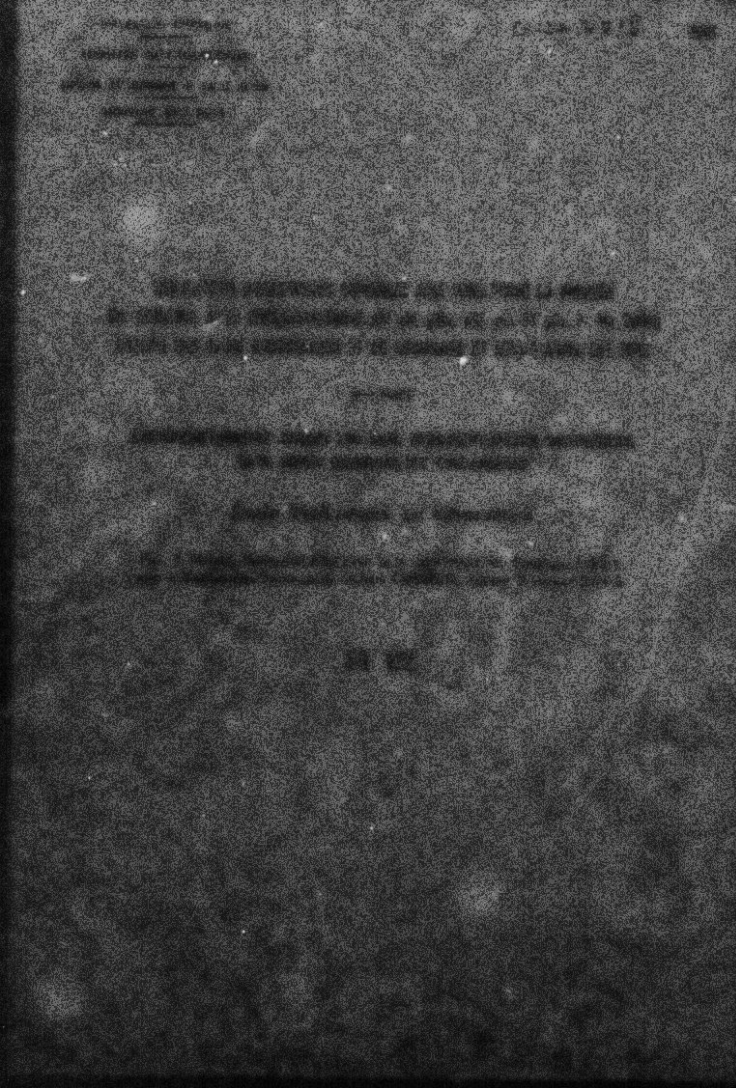
MINISTÈRE DE L'AGRICULTURE

CENTRE NATIONAL DE  
DOCUMENTATION AGRICOLE  
TUNIS

الجمهورية التونسية  
وزارة الصناعة

المركز الوطني  
للسويق الفلاحي  
تونس

F 1



REPUBLIQUE TUNISIENNE  
MINISTERE DE L'AGRICULTURE  
DIRECTION DES RECHERCHES EN  
EAU ET EN SOL

RECHERCHE SUR SOL

UTILISATION D'ELECTRODES SENSIBLES AUX IONS POUR LA  
MEASURE EN CONTINU, AVEC ENREGISTREMENT DU pH, pNa, pCl, pCa ET  
pMg + Na, DANS L'ETUDE DES EAUX D'IRRIGATION ET DE DRAINAGE ET  
ESSAI DANS LES SOILS

Dème Partie

COMPORTEMENT DANS UN SOL D'ELECTRODES SENSIBLES  
AUX IONS CHUTIN ET CHLORURE

PARIS, FRANCE

Etude Exploratoire au Laboratoire

PARIS, FRANCE

R. R. 172 - 2

J. BIRH, Chimiste C.R.D.T.C.N.R.S.  
R. BEN HASSINE, Physicien C.R.D.T.C.N.R.S.  
avec la collaboration technique de Madame CHARBON,  
Médecine Nucléaire C.R.D.T.C.N.R.S.

## SOMMAIRE

INTRODUCTION .....	1
Matériel de mesure .....	1
Sol utilisé .....	2
1. Premier type d'essai .....	2
1.1. Protocole de mesure .....	3
1.2. Résultats .....	3
2. Deuxième type d'essai .....	4
2.1. Cas du solin .....	5
2.2. Cas des chênes .....	5
3. Troisième type d'essai .....	5
3.1. Cas du solin .....	5
3.2. Cas des chênes .....	6
4. Quatrième type d'essai .....	6
4.1. Le dispositif expérimental .....	6
4.2. Déroulement des essais .....	7
4.3. Résultats .....	8
4.3.1. Electrode n° 1 .....	8
4.3.2. Electrode n° 2 .....	8
4.3.3. Electrode n° 3 .....	9
Conclusion générale .....	10
Bibliographie .....	

## INTRODUCTION

Après des bonnes années de croissance, avec des rendements satisfaisants, une l'inégalité sensible aux teneurs actuelles est manifestement de nature. Les variations du taux de ces éléments dans la schistose du sol, nous pouvons constater à niveau très élevé une qualité.

Dans ce but nous avons réalisé 4 types d'essais :

1. un superficiellement dans un faible volume de terrain et en emportant une seule échantillon, on parle alors de l'eau filtrée.
2. dans le sol filtreatif, on prendront alors l'eau de la surface.
3. un ordinaire par dilution
4. un superficiellement sur un revêtement de 40 cm recouvrant l'épaisseur 3 élémentaires suivant 3 niveaux.

## RESULTAT DE RECHERCHE

Il est donné à tous les essais. Ces différences de concentrations trouvées par les élémentaires sont comparées avec un coefficient rapporté à un millilitre de solution diluée dans la litre morte de la solution, c.e.s. 172.

L'électrode de référence est du type calomel/NaCl secund. à faible diffusion : les fluctuations mesurées sur base sont :

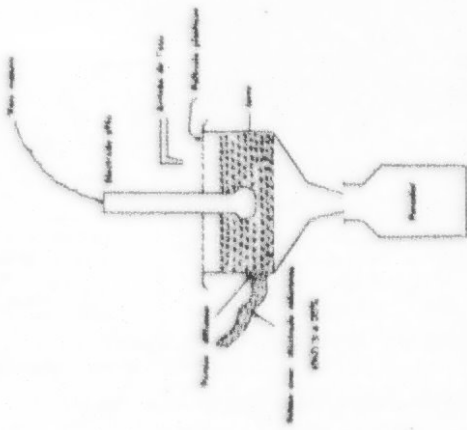
±0.005 à 0.05 V de l'origine (calomel)

±0.005 à 0.05 V de l'origine (calomel)

±0.005 à 0.05 V de l'origine (calomel)

L'électrode de référence est caractérisée en raison de son peu d'interdiffusion l'on peut constituer par une solution 1/10 à de l'acide de potassium, mais pour éviter la diffusion d'ions "S" qui déstabilisent l'électrode C1".

10 - 11 - 12 - 13



### Récolte

Les échantillons ont été prélevés dans une parcelle de la région d'El Bécharia, parcellé irrigué et divisée en cultures interstitielles. Les prélevements ont été faits sur quatre niveaux dont les caractéristiques suivantes sont :

Tableau n° 1.

N° des échantil- lions	n	C.E. mésoph/	Sols solubles en mg 100 g	Sols solubles en mg 100 g	Sols solubles en mg 100 g	Hm + échan- tillon	
1993	8,4	60	0,11	0,36	0,02	0,14	0,15
0-10 cm	10,3	57,51	1,32	10,17	10,41	10,15	10,28
1994	8,4	75	2,04	0,15	0,48	0,28	0,28
0-10 cm	8,4	85	3,92	0,34	1,45	1,19	0,45
0-10 cm	6,4	85	3,92	0,34	1,45	1,19	0,45
0-10 cm	6,4	85	3,92	0,34	1,45	1,19	0,45

Le rapport solubilité du sol au dessus à 1,50 m est assez faiblement élevé (tableau 2 tableau/10).

Les échantillons ont été mis à l'air, secoués et tamisés à 2mm. Note : les pH de ces sols sont nettement d'une valeur favorable aux éléments.

### 1.1. Précision type d'essai.

L'échantillon de 30 grammes de terre est placé dans un entonnoir de filature en plastique (fig 1.) de diamètre 5 cm, mis sur sa paroi, d'une partie du filtre, faisant joint de filature avec l'entonnoir. L'usage d'un filtre est indispensable pour empêcher l'échappement des particules. L'entonnoir est dégagé verticalement, le filtre sensible bien enfoncé dans le sol, un entonnoir réservoir rempli de sable

sur l'ensemble pour limiter l'évaporation pendant les périodes d'arrêt.

En travaillant sous une si faible humidité d'échantillon, on aura une meilleure similitude entre les valeurs de sodium déterminés par l'électrode et celle déterminée par photométrie de fluorescence dans la percolat.

### 1.1.- Protocole du mesure :

L'électrode étant en place, ainsi que la référence, une mesure est faite. C'est le temps zéro, le soli étant dans son humidité hydroscopique ( $\approx 2\%$ ). Puis de l'eau distillée est versée, bien répartie sur l'échantillon par quantité telle, qu'il change d'apparence. L'humidité croît de 10 %, ces apports sont poursuivis jusqu'à la saturation. Les espaces d'arrosage sont variables : pour faire un nouvel apport, on attend la stabilisation de la mesure, après l'équilibre complet.

Les fractions percolées sont recueillies pour analyse chimique. Le chiffre obtenu pour l'électrode est alors obtenu après 5 minutes de stabilisation de la mesure à 1 m.v. L'apport initial a été poursuivi jusqu'à ce que l'électrode et le percolat aient équilibré zéro.

l'équilibrage des électrodes pris à zéro avec du chlorure de sodium en solution dans l'eau distillée, sans autre apport, la quantité choisie varie de 0 à 10 mg/l., de même pour l'électrode KCl.

### 1.2.- Résultats

#### 1.2.1.- Décontamination de surface 0.995, sans $\delta^+$ soluté.

Contrairement à ce que nous attendions, la mesure du décontaminé donne une valeur en électrode qui, toutefois, en soluté, donne la concentration de 1900 mg/l : avec un chiffre aussi faible d'humidité on peut se demander quel est le taux d'absorption à ce chiffre. Il est toutefois que du fait de l'extrême faiblesse du rapport de sodium demandé par l'amplificateur et au très grande résistance d'entrée via à vin de celle du sol, la différence de potentiel mesuré soit dû au caractère de ce faible rapport entre les deux tensions rencontrant un état de saturation ( $V = 0$ ) ; le décontaminé n'ayant alors aucun rapport avec la présence du sodium. Contrairement au résultat sur les humidités représentatives de 2 %, le résultat pour les 1900 mg/l donne 3,7 mg % de sodium, chiffre n'étant rien d'exceptionnel.

Après avoir porté l'humidité à 15 %, par le même calcul en tronc 2,2 ml s (Figure 2), on note l'humidité croissant, on enregistre un déroulement important à 25 % (valeur 0,52 ml s). Cette valeur va se maintenir jusqu'à la saturation (83 %) où l'on enregistre une réactivité importante : à partir de ce instant le liquide commence à percoler, il sera recueilli et chaque fraction analysée par photodensitométrie à l'avenir. Les valeurs trouvées sont comparées à celles de l'électrode.

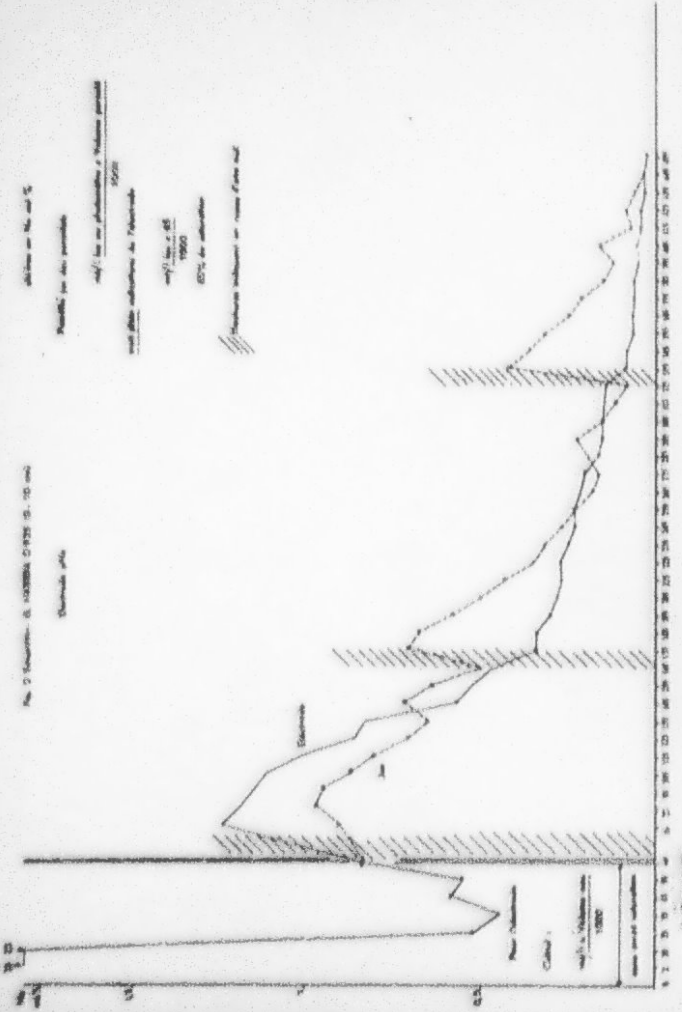
La comparaison des deux courbes l'évidemment montre que les valeurs sont voisines, l'électrode suivant les percolats. Cependant un phénomène particulier apparaît après chaque nuit de repos qui ne traduit pas une variation des valeurs dans le percolat ; il se pourrait que la perte de tiges en solution très facile favorise un effet d'hydrolyse du sodium du complexe et son passage dans les dernières parties du percolat, phénomène que n'indique pas l'électrode, la mesure faite intervenant bien après la fin de la percolation (cas du 4ème type d'essai l'électrode de surface n'a pas de phénomène).

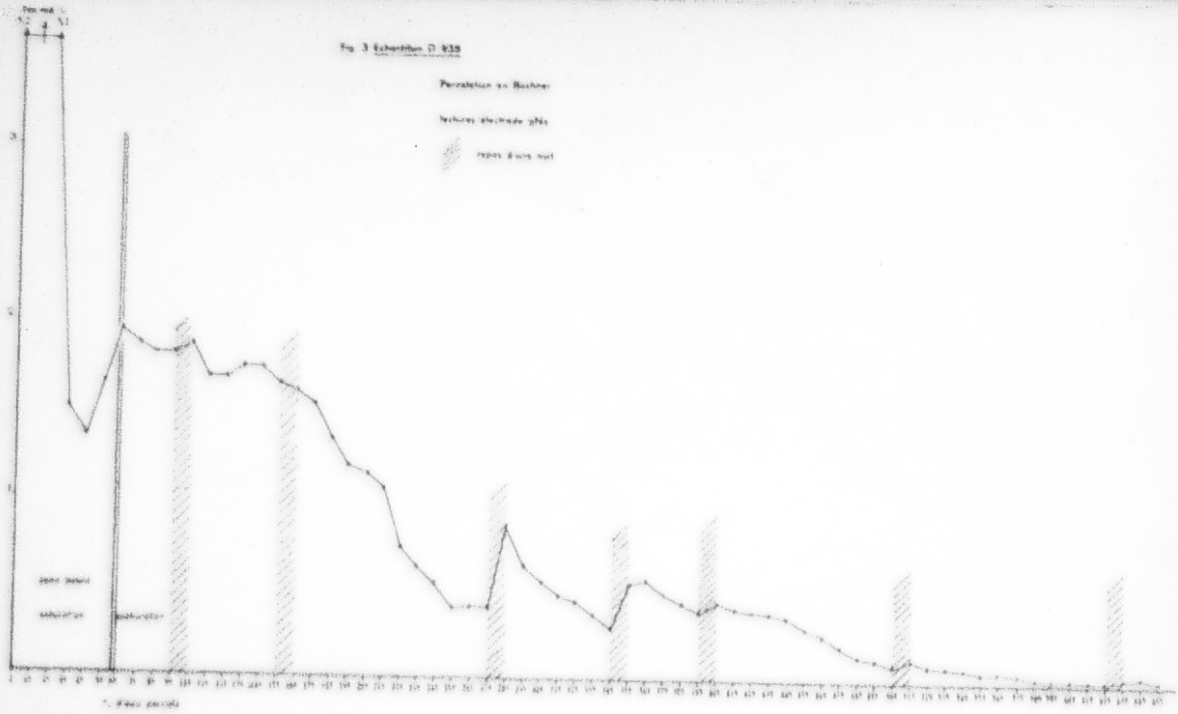
#### 1.2.2.2. Identification de protagonist B 230, cas du sodium.

Comme précédemment, on observe des valeurs importantes avant la saturation, avec une valeur remarquablement élevée pour l'humidité 15 % (Figure 3). Comme l'évolution est identique à celle de l'échantillon n° 935, avec des valeurs plus élevées, l'échantillon n° 930 étant plus salé : les deux correspondant. Les nuits de repos n'assimileraient qu'après des valeurs de l'ordre de 25 %, ce qui autorise pour un phénomène d'hydrolyse ne se manifestant que lorsque le milieu environnant est suffisamment oxydé en soi.

#### 2. Mesures d'essai

Le moyen précédent qui présente un peu d'inconvénient à la place d'une autre (le vase ayant remplacé l'eau de la baignoire utilisée pour l'hydrogénération ( $P = 13 \pm 1\% / \text{ml}$ )) et nous avons choisi les mesures à la saturation. Les valeurs sont exprimées en ml/l.





### 2.1.- Cas du sodium

Les deux courbes (figure 4) sont sensiblement parallèles, celles correspondant à l'électrode initiant des valeurs proches et régulièrement disposées autour de la valeur moyenne de l'eau de la Matjenda, avec le phénomène de remontée suivant chaque nuit de repos : les percolats indiquent des valeurs plus fortes, mais varient aussi les remontées après les nuits de repos.

Après la percolation correspondant au taux inverse 365 % les valeurs des percolats tendent à rejoindre les valeurs de l'électrode.

### 2.2.- Cas des chlorures

La couche des valeurs fournies par l'électrode chlorure suit bien celle de l'électrode sodium, avec des valeurs un peu plus faibles (figure 4).

## 3.- 3ème type d'essai

L'échantillon dissous dans un bûcher est amené à la saturation, les électrodes plongées dedans ; puis la dilution croît de 10 en 10 %, le liquide conservé en contact avec le sol ; il s'agit d'une expérience de dilution.

### 3.1.- Cas du sodium

#### 3.1.1.- Echantillon D 935.

Une mesure est faite à la saturation (66 %) puis l'apport d'eau croît. Les valeurs données par l'électrode sont reportées en % (figure 5). On peut voir d'abord peu de variation jusqu'à l'humidité 106 %, puis une montée <sup>19</sup> de ces des valeurs qui peut être fait qu'à partir d'une certaine dilution, l'hydrolyse se fait sentir. L'expérience est poursuivie jusqu'à la dilution 246 %.

Fig. 8 - Décembre 1958

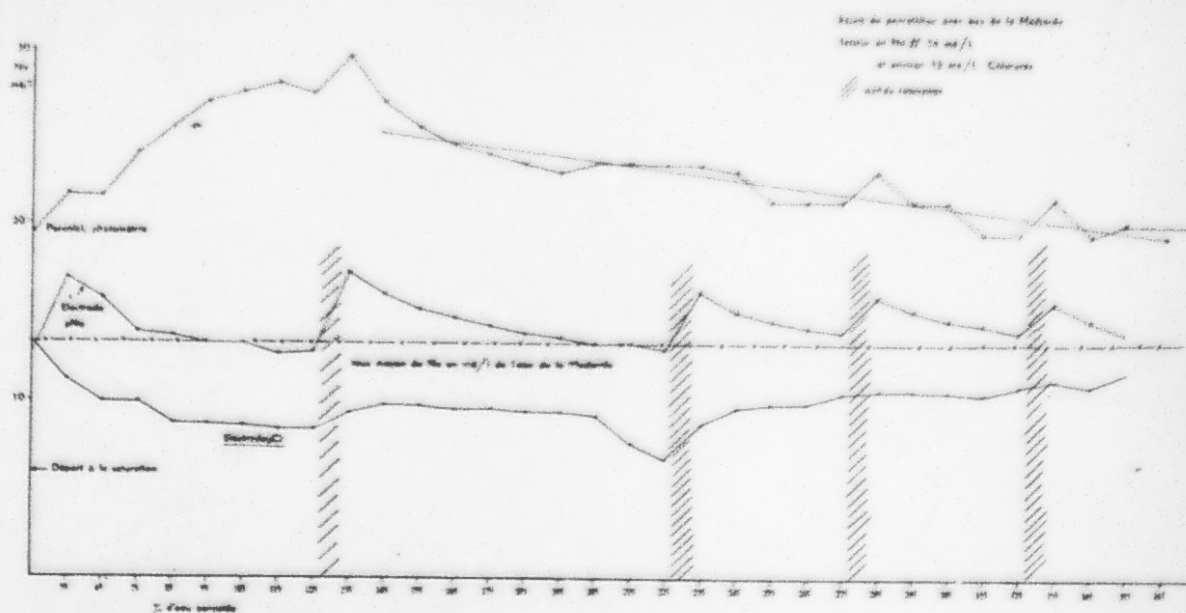
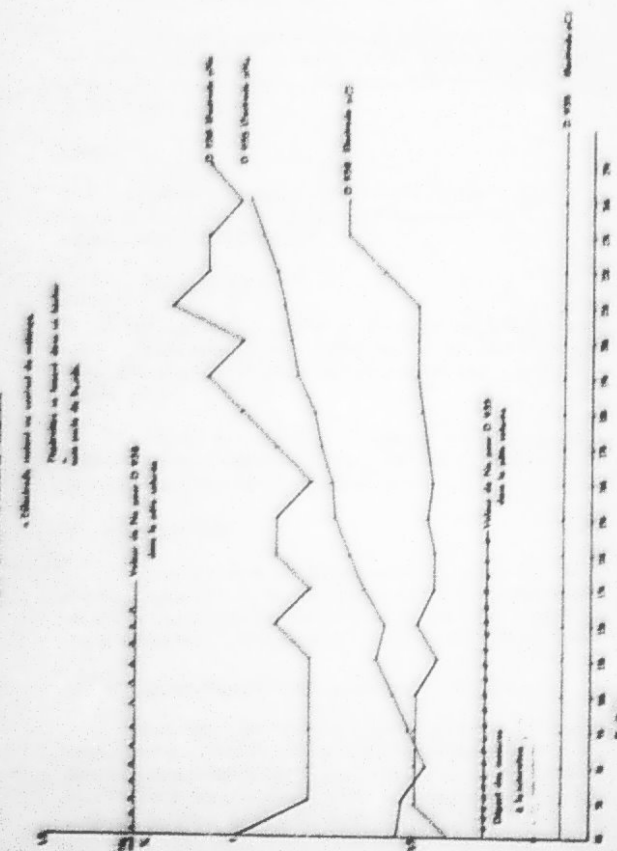


Fig. 3. Variations de densité de population



### 3.1.2.- Schentillon D 936

L'essai de dilution sur ce sol plus sale montre comme pour l'échantillon D 935 une stabilisation des valeurs jusqu'à environ 166 à de dilution, puis une nette variation qui pourrait illustrer le effet phénomène que précédemment.

#### Déroulement :

Notre que les valeurs de la donnée par l'électrode sont plus faibles que celles de la pôle statique, pour l'échantillon D 936, c'est la constatation pour l'échantillon D 935.

### 3.2.- Cas des chlorures.

Pour les deux schentillons on observe une très bonne stabilité des courbes : un niveau stable est vite atteint, sans variation pour D 935, une légère tendance à la remontée pour l'échantillon D 936, mais au delà de la dilution 216 %.

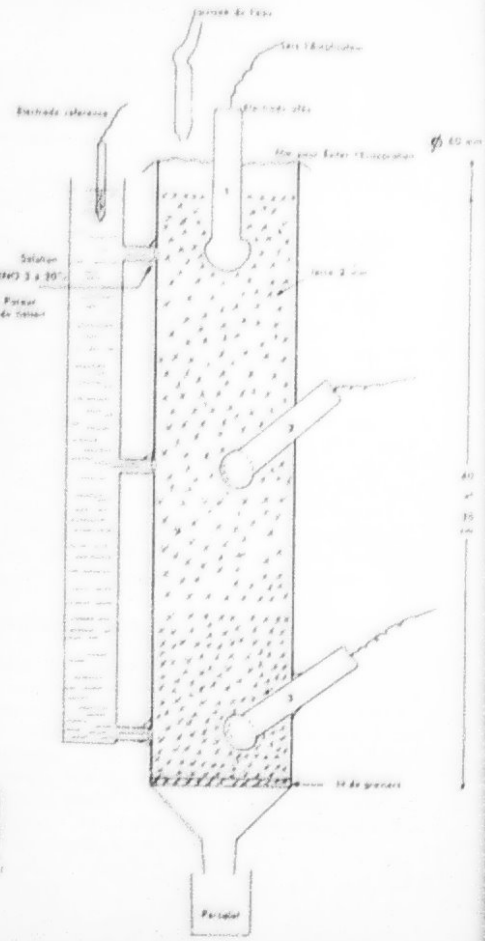
La valeur stable pour D 935 correspondant à la valeur analytique demandée par les seuls solubles, pour D 936 le pôle est à une valeur nettement plus faible que la valeur analytique (1,2 mg/l).

#### 4.- Autre type d'essai.

Cette nouvelle modélisation qui met en œuvre uniquement des électrodes sensibles aux ions sodium vient compliquer les preuves expérimentales en faisant intervenir une facteur plus important à l'échantillon que ce qui conduit à l'utilisation de 3 électrodes (disposées à 3 niveaux).

### 4.1.- Le dispositif expérimental (photo 1 et figure 4)

On utilise un tube en matière plastique transparente de 40 cm de longueur et 5 cm de diamètre, le tube transparent permet de suivre plus aisément le déplacement du front d'ionisation. Le fond de ce tube est garni d'une fine grille munie d'un lit de vermiculite (épaisseur 1 cm), l'ensemble se termine par un entonnoir qui débouche dans un piliulier qui



raport les parallèles. Ce tube est court, sur une longueur de 25 cm, de diamètre sensible à l'air de l'échantillon à 935 (therm. = 2 ml). Le poids du tube échantillon est de 1232 grammes ; le tube est parfaitement étanché de qui donne un densité apparente de 1,76.

Trois électrodes minces aux deux extrémités sont disposées de la façon suivante :

Le 1<sup>er</sup> en surface (la hauteur sensible à 3 cm du profond) et au centre de l'échantillon.

Le 2<sup>me</sup> dimensionné, par un trou fait dans la paroi du tube de telle façon que la hauteur sensible soit à la moitié du tube.

Le 3<sup>me</sup>, également par un trou de la paroi de telle façon que la hauteur sensible soit à 3 cm du fond.

Tes deux électrodes électriques sont inclinées à 45° pour assurer le contact électrique intérieur. L'électrode de référence est du type carbonaté/fer actif, le filtreur électrique se fait par un pont liquide intermédiaire de solution de  $\text{NaO}_2$  à 20 %, cette solution qui se trouve dans un tube réservoir sur le contact de l'échantillon sur l'intermédiaire de petite surface posera, un à chaque niveau d'électrode. L'étanchéité du montage est assurée avec un caoutchouc type RUBBER. Les mesures électriques se font en utilisant le filtre sensible que celui des autres mesures.

#### 4.2.- Déroulement des mesures.

Une mesure est faite au départ à l'instabilité hydroscopique, ensuite les mesures se font après chaque apport de portions de 10 ml d'eau distillée : la mesure restante est celle obtenue après stabilisation du chiffre pendant 5 minutes. Quand le liquide commence à percoler, on prendra le chiffre fraction correspondant à un apport de 10 ml ; il faut compter une heure pour chaque fraction, la mesure est faite à ce moment. Le liquide recueilli est analysé par photométrie de flammes (les volumes sont mesurés) ; les chiffres, tant pour les filtrations que pour les résultats de photométrie, sont exprimés en ml/l de %.

#### 4.3.- Résultats (échantillonnage figure 7)

De même que pour les essais précédents, avec l'humidité de départ, nous enregistrons un signal dont la signification reste à préciser.

##### 4.3.1.- Electrode n° 1 (surface)

Le brusque décrochement des valeurs se fait après avoir apporté 50 ml d'eau ; pour cette humidité que l'on peut approximer à 28 %, la valeur la plus de 660 mV/1 à 0,8 mV/1 (?) ?

Le traitement est interrompu par deux périodes de repos d'une nuit, le tout pendant cette période est suivi d'une feuille plastique pour limiter l'évaporation. Au lendemain, la mesure est faite alors tout apport nouveau. On peut voir une remontée de la valeur par rapport à la veille, un nouvel apport d'eau provoque une diminution, alors plusieurs apports en quantité réduite... mais cela va en s'affirmant et disparaît pour un grand volume ajouté. Ce phénomène déjà observé dans nos premières essais peut être dû à l'hydrolyse du complexe, libérant des ions sodium.

Dans le cas du sol en suspension, la série des valeurs données par une "mesurette", grossièrement estimée, donne environ 1 mV/1, alors que l'analyse conventionnelle donne 1,5 mV/1 de sodium équivalable. Le premier phénomène d'hydrolyse (?) apparaît pour une humidité correspondante de 51 % dans un voisinage de la saturation (apparition très brusque dans les conditions d'un pH assez bas). Le deuxième phénomène a lieu après l'apport de 450 ml d'eau. L'électrode indique un faiblement positif total après l'apport de 600 ml (les mesures ont inférieur à 0,03 mV/1).

##### 4.3.2.- Electrode n° 2.

Comme précédemment, valeur très forte au départ, puis brusque décrochement à partir de 200 ml apportés, de 1300 mV/1 à 104 mV/1, ensuite de 104 à 87 mV/1 pour 220 ml : à ce moment l'humidité grossièrement estimée serait de 30 %. Brusque décroissance régulière, courbant assez régulière jusqu'à une valeur de 15 mV/1, soit pour un volume apporté de 390-400 ml ; à cette dernière valeur, un second croisement à négativer et l'on

Voltages d'absorption hors galvanique

Tableau 2

Electrode	Voltages d'absorption hors galvanique en millivolts																	
	1	2	3	4	5	6	7	8	9	10	11	12	13	14	15	16	17	18
Surface	-10	-10	-22	-22	-22	-22	-22	-22	-22	-22	-22	-22	-22	-22	-22	-22	-22	-22
3	-100	-100	-100	-100	-100	-100	-100	-100	-100	-100	-100	-100	-100	-100	-100	-100	-100	-100
2	-200	-200	-200	-200	-200	-200	-200	-200	-200	-200	-200	-200	-200	-200	-200	-200	-200	-200
1	-300	-300	-300	-300	-300	-300	-300	-300	-300	-300	-300	-300	-300	-300	-300	-300	-300	-300

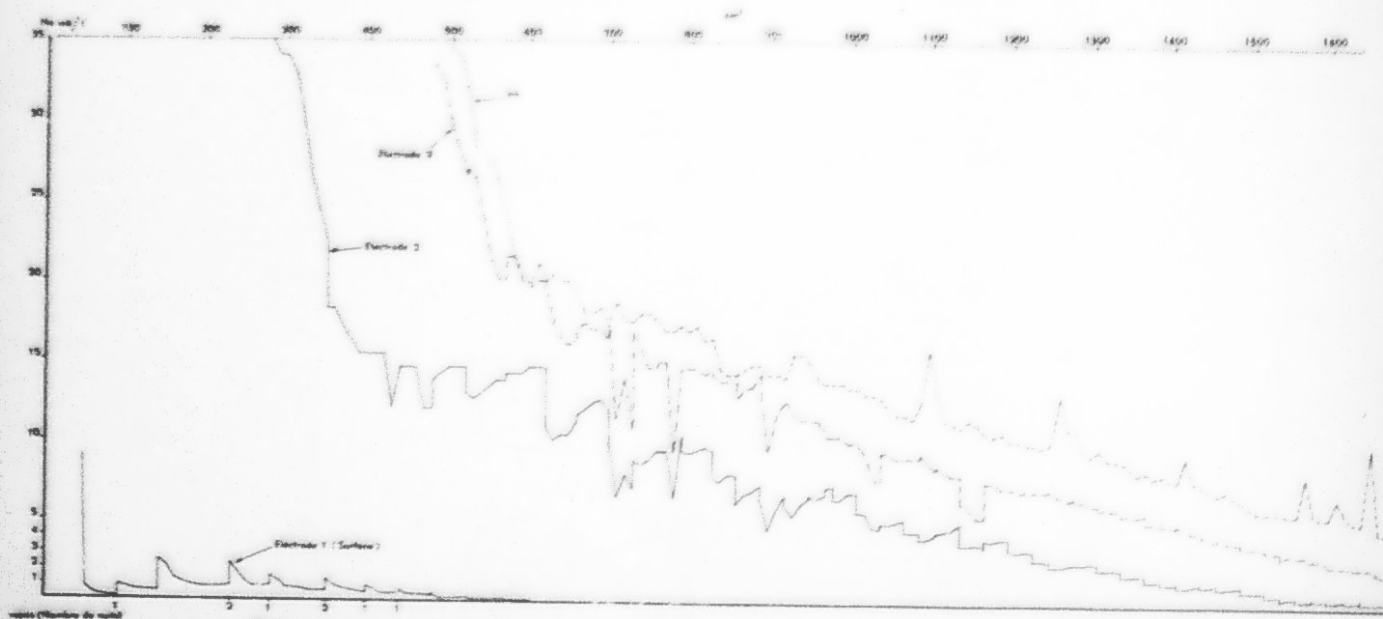


Fig. 7

Évolution des voltages mesurés par les trois électrodes implantées dans le morceau de béton soumis par la spectrophotométrie de fluorescence dans les 18 premiers mois /  
un élément sur l'autre élément, les chiffres entre 1 et 3 indiquent 1 ou 2 nuds de revêtement.  
Les Voltages hors galvanique > 25 mV/2 se trouvent dans le tableau 2.

révolus le second jau. L'humidité à ce stade est approfondie à 34 %, on est loin de la saturation, il y a donc une croissance préférentielle.

A partir du 2<sup>er</sup> instant la valeur de 15 mg/l va se maintenir jusqu'à 830 sèches (Figure 7), on n'est pas sûrs que la décoloration s'arrête ; ce résultat pourrait être le fait d'un équilibre entre le départ du métal par la solution et une arrivée de la couche superficielle par hydroxyde du magnésium (la couche superficielle est appelée en "mais solubles")

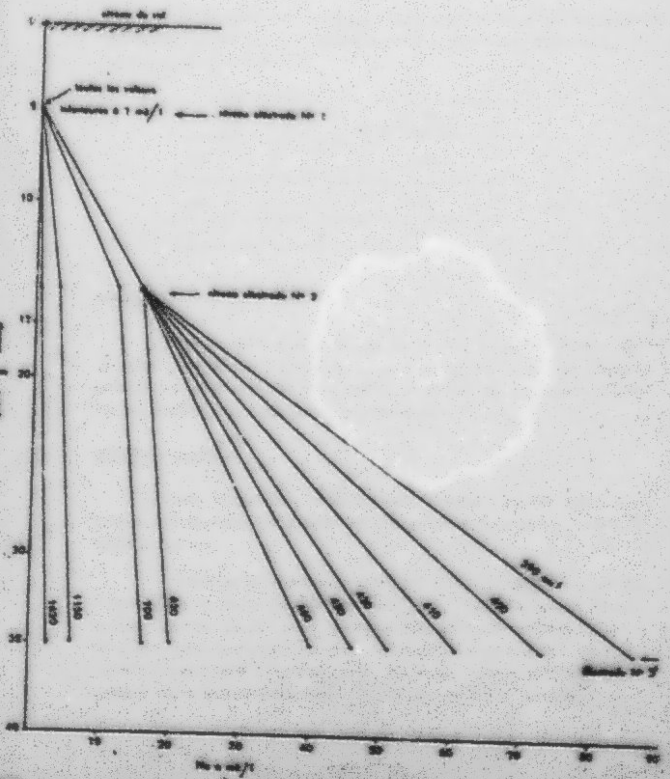
Sur "arrivedes" suivantes, la croissance normale de décolorations reprend. On observe très peu souvent des variations de valeurs après un raid de repos ; le plus souvent on voit des stades, les périodes de repos et il y a ou ce ne sont pas visibles mais bien par le fait que le métal se trouve recouvert par une solution saline assez forte. On obtient des valeurs proches de l'équilibre après 1000 sèches.

#### 4.3.3. - Electrode n° 3.

C'est l'électrode disposée au fond de la colonne, celle dont les réactions peuvent être comparées aux valeurs trouvées sur l'analyse des périodes. Toujours valeurs très fortes au départ, puis décoloration après l'essor de 340 sèches, soit avec un basculement appréciable de 20 %, suivie en passe de 1140 mg/l à 200 mg/l, puis décoloration très rapide jusqu'à 20 mg/l et décoloration lente. L'influence du temps d'arrêt est peu nette, quelquefois cela conduit à deux séries de valeurs. L'amplitude des fluctuations de valeurs est plus grande que pour les autres électrodes et est particulièrement marquée dans la zone de valeurs 17 - 9 mg/l.

La croche indique les valeurs de métal dans les périodes sans périodicité aux valeurs données par l'électrode, avec moins de variations, le liquide "intègre" les sèches ; les valeurs dans les jau sont constamment plus fortes que celles données par les électrodes, il faut reconnaître que l'électrode et le jau ne renferment pas le même type de phénomène.

Fig. 8. Graphique montrant les vitesses d'absorption des bactéries sur diverses surfaces de contact. Courbes pour diverses concentrations de glucose.



A la fin de cette expérience nous avons fait un essai des variations d'activité dans les périodes, marquées en n° 1, ce qui donne un taux de 1,63 n° 1 de terre, par l'analyse classique sur une échantillon nous avons 1,97 n° 1 de la fluorine et 0,27 n° 1 de la manganèse. La concordance est bonne.

L'électrode terrestre nous avons retiré son électrode et nous avons les 3 parties de terre correspondant à charge et non d'électrode, l'analyse classique a donné :

	MÉTHODE	N° 1
	ANALYSE CLASSIQUE	
n° 1	1	0,05
n° 2	1	0,02
n° 3	1	0,5

#### DISCUSSION

A la fin de l'expérience nous avons trouvé après que du fait de la grande porosité des parts de liaison entre  $\text{MgO}$  et le sol, une certaine quantité de solution de Manganèse a diffusé accélérant la dissolution d'hydroxyde, et suivant pour être certaines précautions.

#### CONCLUSION

Cette simple étude d'essais vient confirmer l'intérêt que peut présenter l'électrode solide pour une utilisation dans un milieu aussi complexe qu'un sol.

Confirmer au contrôle de l'analyse classique, quand cela est possible, comme ce fut le cas avec les périodes, l'électrode solide sur réactifs à suivre les variations de sodium avec une très grande fidélité, elle est toutefois assez susceptible de retenir en évidence des phénomènes difficilement accessibles à l'expérimentation, tels que : phénomène d'échanges, concentrations salines protectrices, existence de paliers d'équilibre.

On a pu voir également que par la chose de la position de l'implémentation il était possible de renouveler des renouvellements plus répétitifs et d'un déroulement plus ou moins.

Les choses qui sont aussi pour le problème de la signification des renouvelles pour les relations relatives de l'implémentation.

## BIBLIOGRAPHIE

- BRUNTON (K.), 1976.- Comparison of some sodium-selective electrodes in concentrated solutions for use in automatic monitoring systems. *Analytics chimica acta*, 87 (1976), Elsevier Scientific Publishing Company, Amsterdam, The Netherlands.
- DETTMIR (J.), LAMBERT (J.C.), RYBOLD (R.), 1974.- Avantages et limites des électrodes sélectives dans l'analyse des eaux. Département de chimie minérale et analytique, Université de Québec, Québec.
- KOZAK (V.A.), MATEJKOVÁ (E.A.), ERDÉI (P.M.), SHKIN (V.V.), HEDRITZWARD (W.L.), TURCHINSKOV (A.N.), 1977.- Utilisation des électrodes spécifiques dans les recherches pétrographiques et géochimiques. Conférence de A.N. KERI, 1977, T. 215, n° 1.
- MENEZ (A.), 1979.- Les électrodes ioniques spécifiques. Rapport de mission au Laboratoire de Chimie et d'Electrochimie Analytiques, Ecole Nationale Supérieure de Chimie de Montpellier, ED. 193, Division des Sois, D.R.E.S., Tunisie.
- PATRICK (R.), 1977.- Ion selective electrodes. Conference held at Bulegar, Hungary, 5 - 9 September 1971. Elsevier Scientific Publishing company, London - New York.
- PEREZ (J.) et REFFERT (M.), 1972.- Revue d'utilisation en analyse des fonctions d'une électrode sensible aux ions sodium. Cahiers O.P.B.T.O.M., série métal., Vol. 1., n° 3, 1972.
- REHMAN (J.) et LIUER (J.Y.), 1977.- Réalisation d'un ensemble automatisé pour la mesure en continu et "in situ" du pH, du tH et du pH du sol. Etude spéciale, Division des Sois, D.R.E.S., Tunisie.

RECHERCHE (T.), 1979.-

Note sur la tenue d'électrodes ayant adhéré  
à surfaces oxydées dans le sol. Note technique,  
O.R.E.T.O.H., mission Tunisie.

RECHERCHE (T.), 1980.-

Utilisation d'électrodes soumises aux foyers pour  
la mesure en continu, avec enregistrement du pH,  
pHs, pCl, pCa, pMg + hydrométrie des eaux  
d'irrigation et de drainage et mesures dans les  
solos. Tome partie I : Méthodologie et description  
de l'ensemble de mesures. R.S. 172, Division des  
Soils, D.R.E.S., Tunisie.

**FIM**



**24**